

Klasifikacija fizi kih vežbi koriš enjem troosnog akcelerometra pametnog telefona i vešta ke neuralne mreže

NIKOLA S. CAKI, Univerzitet u Beogradu, Elektrotehni ki institut „Nikola Tesla“, Beograd

BLAGOJE M. BABI, Univerzitet u Beogradu, Elektrotehni ki institut „Nikola Tesla“, Beograd

MILICA B. DILPARI, Univerzitet u Beogradu, Elektrotehni ki institut „Nikola Tesla“, Beograd

ALEKSANDAR D. ŽIGI, Univerzitet u Beogradu, Elektrotehni ki institut „Nikola Tesla“, Beograd

SR AN B. MILOSAVLJEVI, Univerzitet u Beogradu, Elektrotehni ki institut „Nikola Tesla“, Beograd

Stru ni rad

UDC: 550.34.038:004.032.26

DOI: 10.5937/tehnika1701082C

Rasprostranjenost pametnih telefona i njihove dovoljne ra unarske sposobnosti se mogu iskoristiti za prepoznavanje svakodnevnih fizi kih vežbi. Prikupljene informacije o obavljenim vežbama mogu se upotrebiti na polju zdravstvene informatike. Za prepoznavanje odre ene fizi ke aktivnosti potreban je ve i broj senzora ili njihovo repozicioniranje u toku vežbanja. U radu je prikazan na in za prepoznavanje vežbi samo pomo u troosnog senzora ubrzanja koji je ugra en u pametan telefon. Sam telefon se slobodno kre e u džepu korisnika. Problem broja senzora i njihovog repozicioniranja u radu je rešen filtracijom mernih signala i odabirom deskriptora signala. Analizirano je devet vežbi karakteristi nih za razli ite programe i nivoe vežbanja. Za filtriranje mernih signala koriš en je Batervortov filter propusnik niskih u estanosti desetog reda. Filtrirani signali su opisani pomo u pet deskriptora, koji su koriš eni za obu avanje vešta ke neuralne mreže (VNM). Klasifikacija tipa vežbe je obavljena pomo u VNM sa greškom od 0.7%. Pojedine vežbe se mogu obavljati samo levom ili samo desnom nogom. Ta nast klasifikacije predloženog pristupa je testirana tako što je telefon sve vreme bio u desnom džepu ak i kada je vežba obavljana levom nogom.

Klju ne re i: akcelerometar, neuralna mreža, klasifikacija, fizi ka vežba, pametni telefon

1. UVOD

Najkoriš eniji pristup u prepoznavanju aktivnosti ljudi bazira se na o itavanjima inercijalnih mikro-elektromehani kih sistema - MEMS inercijalnih senzora. MEMS senzori, na osnovu ijih mernih signala se vrši prepoznavanje aktivnosti, pripadaju grupi inercijalnih senzora kao što su akcelerometar, žiroskop i magnetometar. Koriš enje ovih senzora omogu ilo je pra enje toka oporavka fizikalne terapije [1]. Pomenuti senzori se koriste i za prepoznavanje statih i dinamickih aktivnosti radi monitoringa zdravlja [2, 3].

Savremeni pametni telefoni, sadrže raznovrsne

MEMS senzore ija je osnovna svrha softverska detekcija odre enog doga aja direktno uslovленог položajem telefona u prostoru.

O itani podaci implementiranih senzora se pored osnovne namene na polju zabave (interaktivne igre) mogu iskoristiti i za klasifikaciju dnevnih aktivnosti osoba koje ih nose [4 - 6].

Nedovoljno istražena oblast u prepoznavanju aktivnosti, predstavlja prepoznavanje fizi kih aktivnosti prilikom rekreativnog ili profesionalnog fizi kog vežbanja. Fizi ka aktivnost smanjuje rizik od nastanka kardiovaskularnih bolesti, dijabetesa i oseteoporoze.

Pove ano koriš enje ra unara dovodi do fizi ke neaktivnosti mla e populacije što uzrokuje gojaznost. Problem gojaznosti je štetan po zdravlje jer vodi ka bolestima kao sto su: dijabetes, bolest srca i povišen krvni pritisak. Sa druge strane, gojaznost vodi i ka mentalnim bolestima kao što su: usamljenost, anksioznost

Adresa autora: Nikola Caki , Univerzitet u Beogradu, Elektrotehni ki institut „Nikola Tesla”, Beograd, Ko ste Glavini a 1a, nikola.cakic@ieent.org

Rad primljen: 13.11.2016.

Rad prihva en: 22.12.2016.

i depresija. Što se ti e starije populacije javne zdravstvene ustanove preporu uju fizi ku aktivnost od po minimum pola sata dnevno, pet dana u nedelji. Me utim, manje od pola stanovništva u razvijenim zemljama ispunjava te standarde [7 - 10].

Prepoznavanja odre enih vrsta fizi kih vežbi zahteva ve i broj senzora ili njihovo repozicioniranje prilikom obavljanja druge vrste vežbe. U literaturi postoje radovi koji koriste fuziju inercijalnih senzora [4] i senzora sile koji se nalaze u obu i [11]. Postupci koji daju dobre rezultate koriste stacionarne RGB kamere radi kompjuterskog prepoznavanja slike [12] ili stacionarne piroelektri ne infracrvene senzore [13]. Me utim nemobilnost sistema predstavlja problem za vežbanje na otvorenom prostoru ili vežbanje u prostoriji koja ne poseduje kamere i ra unar.

Iz razloga što je pametni telefon postao svakodnevica u savremenom društvu, u ovom radu je predložen postupak za prepoznavanje devet fizi kih vežbi koriš enjem pametnog telefona. Postupak se zasniva na Android pametnom telefonu i njegovom troosnom senzoru ubrzanja, bez dodatnih senzora. Odluku o kojem tipu izvršene vežbe se radi donosi VNM. Jedini uslov je da se telefon nalazi u džepu korisnika, bez potrebe da se fiksira.

Prednost predloženog rešenja, u odnosu na radeve iz literature, je u broju koriš enih senzora i njihovoj efiksiranosti. Na primer, autori u [3] za prepoznavanje devet razli itih fizi kih aktivnosti koriste ak trinaest razli itih fiksiranih senzora. Autori u [4] su prepoznavali samo aktivnosti koje se obavljaju sa obe noge. Jedan od doprinosa ovog rada je i u tome što se telefon nalazi samo u desnom džepu korisnika, a mogu e je prepoznavati vežbe koje se obavljaju i levom nogom. Pogodnost pametnog telefona kao senzora je što se ne mora razvijati novi portabilni ure aji kao kod autora u [9]. Telefon kao senzor ne zahteva bilo kakvu modifikacija ode e ili obu e kao u radu [11]. Njegova mobilnost definitivno predstavlja prednost u odnosu na fiksirane ure aje u zatvorenom prostoru, za koje su autori [12] i [13] dokazali uspešnu primenu.

Rad je predstavljen u pet poglavlja i tri potpoglavlja. Prvo poglavlje daje pregled postoje ih rešenja u oblasti prepoznavanja fizi kih aktivnosti. Drugo poglavlje upoznaje itaoca sa na inom prikupljanja i obrade snimljenih signala. U potpoglavlju 2.1 slike na kojima su prikazani izgledi signala akcelerometra po sve tri ose generisane su pomo u Microsoft Office Excel softverskog paketa. Slike se ne iscrtavaju ni na serveru niti na pametnom telefonu. Njihova osnovna svrha je da itaocu potvrde pogrešno klasifikovane vežbe usled sli nosti mernih signala po osama. Korisnik ima samo informaciju koju vežbu je uradio i koliki je bio broj ponavljanja. Potpoglavlje 2.2 objašnjava

postupak filtriranja mernih signala. Poglavlje 3 i njegovo potpoglavlje 3.1 opisuju na koji na in je kreirana VNM. Na in obuke i testiranja, kao i kolika je uspešnost klasifikacije. Etvrtog poglavlje je zaklju ak i peto literatura.

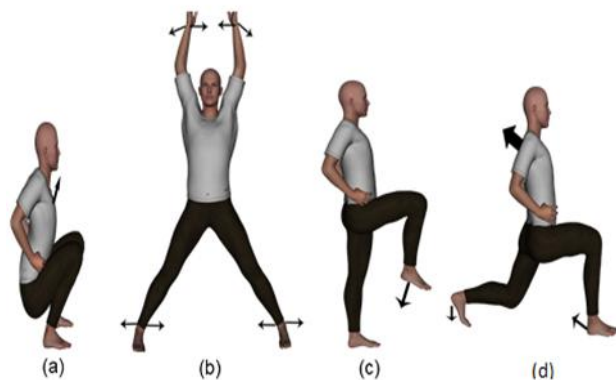
2. METODOLOGIJA PRIKUPLJANJA I OBRADE PODATAKA NAD ODABRANIM FIZI KIM VEŽBAMA

Glavni problemi prepoznavanja fizi kih vežbi su broj i fiksiranost senzora pokreta, kao i limitiranost baterije ure aja. Kako je posedovanje mobilnog telefona postalo svakodnevica u savremenom svetu njegove dovoljne ra unarske sposobnosti se mogu iskoristiti na polju zdravstvene informatike [14, 15].

Radi obavljanja merenja, odabrane vežbe obavlja osoba muškog pola, prose ne visine i težine (185 cm i 80 kg, respektivno), starosti do 30 godina. Snimanje pomeraja koji nastaju prilikom vežbanja obavlja pametan telefon koji se nalazi nefiksiran u desnom džepu korisnika.

Analiza fizi kih aktivnosti, odnosno pomeraja u toku vežbanja se obavlja u koordinatnom sistemu koji se poklapa sa koordinatnim sistemom telefona. Analizirane su dve grupe vežbi u zavisnosti od po etnog stava.

Vežbe u vertikalnom stavu: u anj, skok iz mesta, podizanje kolena i iskorak. Me upoložaji vežbi u vertikalnom stavu prikazani su na slika 1 (a), (b), (c), (d) respektivno.

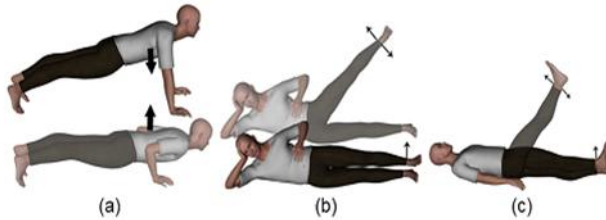


Slika 1 - Me upoložaji za vežbe u vertikalnom stavu:
(a) u anj; (b) skok iz mesta; (c) podizanje kolena; (d) iskorak.

Pošto se telefon nalazi samo u desnom džepu korisnika, ponavljanje odre ene vežbe sa suprotnom nogom ne e dati ista o itavanja akcelerometra. Vežba podizanje kolena slika 1(c) i vežba iskorak slika 1(d) se obavljaju levom ili desnom nogom, s tim da na slici 1 nisu dodate vežbe koje se obavljaju levom nogom jer je postupak identičan samo je oslonac na suprotnoj

nozi. Vežbe obavljene levom nogom, iako nisu predstavljene na slika 2, nalaze se u ukupnoj grupi vežbi koje treba klasifikovati.

Što se tiče vežbi u horizontalnom stavu analizirane su sledeće vežbe: sklek, bočno dizanje noge, podizanje noge (sl. 2(a), (b), (c) respektivno).



Slika 2 - Vežbe u horizontalnom stavu: (a) sklek; (b) bočno dizanje noge; (c) podizanje noge.

Na slici 2 tamnjom bojom su prikazani po etni položaji a svetlijom međupoložaji.

Za početak vežbanja korisnik startuje Android aplikaciju i pozicionira se u po etni položaj za željenu vežbu. U tom položaju je potrebno da miruje dok ne uđe zvučni signal za početak vežbanja. Aplikacija detektuje da je u pitanju neki od po etnih položaja vežbi ra unaju i intenzitet vektora ubrzanja. Podaci se unutar Android aplikacije upisuju u kružni bafer veličine etiri stotine realnih podataka tipa float. Kada se bafer napuni računa se absolutna greška odstupanja maksimalne i minimalne vrednosti od srednje vrednosti.

Merenjima stanja mirovanja za različite položaje ustanovljeno je da je maksimalna greška prilikom mirovanja u toku pozicioniranja u po etnom položaju za sklek 2.33%. Na osnovu izmerenog odstupanja odabrana je duplo veća granična vrednost - 5%. Ukoliko je odstupanje veće od granične vrednosti, iz kružnog bafera se obriše prvi lanac a preostali lancovi se šiftuju za jedno mesto u levo.

Na mesto upražnjenog poslednjeg lana se doda pristiglo merenje i ponovo se obavlja postupak rešavanja greške. U suprotnom, ako je odstupanje manje od 5% detektovano je da se korisnik nalazi u nekom od po etnih položaja za devet mogućih vežbi. Registrovanje po etnog položaja, propisano je pomenutim zvučnim signalom, nakon koga korisnik zapravo počinje vežbanje.

Prihvatanje podataka sa senzora ustanovljeno je da je vreme za koje je potrebno da se obavi jedno ponavljanje najsporije vežbe oko tri sekunde. Iz tog razloga se zvučni signal za početak svakog sledećeg ponavljanja vežbe javlja na svake četiri sekunde.

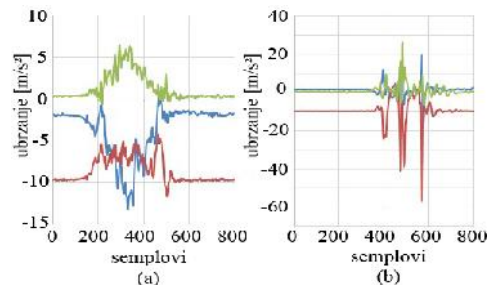
Nakon zvučnog signala potrebno je uraditi jedno ponavljanje željene vežbe koje obuhvata kretanje iz po etnog položaja u međupoložaj, i zatim vraćanje u po etni položaj.

Nad snimljenim signalima akcelerometra vrši se preprocesiranje očitanih podataka senzora korištenjem Batervortovog filtra propusnika niskih učestanosti. Filtriranje snimljenih signala je obavljeno u softverskom paketu Matlab. Nakon filtriranja računaju se deskriptori signala koji se prosleđuju VNM, koja se na osnovu njih obaveđava. Obaveđena VNM donosi odluku o tome koji tip vežbe je izvršen. VNM se nalazi na serveru kome Android aplikacija preko TCP/IP protokola šalje podatke. Aplikacija može pristupiti serveru da vidi trendove vežbanja po datumima.

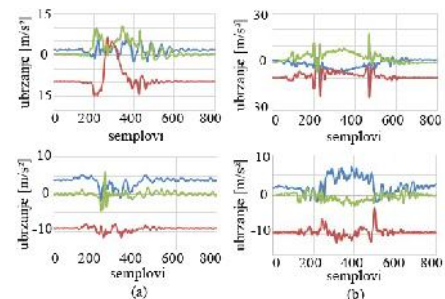
2.1. O itavanje podataka senzora

O itavanje podataka akcelerometra se obavlja unutar razvijene Android aplikacije. Aplikacija se nalazi na pametnom telefonu. Za njen razvoj korišteno je Android studio razvojno okruženje. Akcelerometar pripada grupi senzora koji očitane podatke generišu u neprekidnom modu u zavisnosti od promenljive „samplingPeriodUs“. Prosleđujući i promenljivi „samplingPeriodUs“ promenljivu „SENSOR_DELAY_FASTEST“, definisano je da je semplovanje podataka najbrže moguće. Ono zavisi od implementiranog hardvera i ovde iznosi 200 Hz. Potrebno stanje mirovanja za detekciju po etnog položaju iznosi dve sekunde.

Na slici 3 i slici 4 su predstavljeni signali za jedno ponavljanje vežbe u vertikalnom stavu. Prikazani su izgledi signala za svaku od tri ose akcelerometra (x-plava boja, y-crvena boja i z-zeleni boji).

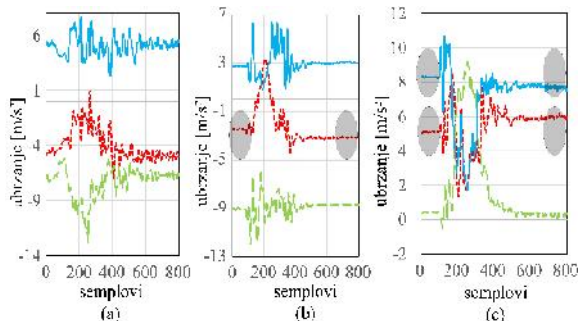


Slika 3 - Izgled sirovog signala za (a) učlanjivanje i (b) skok iz mesta. Plava boja x-osa, crvena y-osa i zeleni z-osa.



Slika 4 - Izgled sirovog signala: (a) podizanje kolena, oslonac leva nogu (gore), oslonac desna nogu (dole), (b) iskorak, oslonac leva nogu (gore), oslonac desna nogu (dole). Plava boja x-osa, crvena y-osa i zeleni z-osa.

Na slici 5 su predstavljeni izgledi signala određene vežbe u horizontalnom stavu. Prikazani su izgledi signala za sve tri ose akcelerometra.



Slika 5 - Izgled sirovog signala: (a) sklek, (b) bočno dizanje noge, (c) podizanje noge. Plava boja x-osa, crvena y-osa i zelena z-osa.

Kako jedno ponavljanje određene vežbe traje 4 s, sledi da se signal jednog ponavljanja željene vežbe sastoji od 800 semplova. Na slici 5(b) i slici 5(c) je obeležen početni i krajnji položaj nakon izvršenog jednog ponavljanja vežbe. Sa slikom se vidi da se početni i krajnji položaji u toku vežbanja razlikuju jer telefon nije fiksiran unutar džepa već se slobodno kreće u toku vežbanja.

2.2. Preprocesiranje snimljenih signala akcelerometra

Da bi se povećala tačnost prilikom donošenja odluke VNM, nad sirovim podacima se vrši filtriranje mernih signala.

Za filtriranje sirovih signala koristi se Batervortov filter propusnik niskih ustanosti desetog reda. Oslanajući se na karakteristike kvalitetnih osciloskopa, kod kojih se za postizanje dobre rezolucije povremenu koriste ustanosti semplovanja koje su najmanje pet puta poželjno je deset puta veće od gornje granice u ustanosti merenog signala, za graničnu ustanost filtra je odabrana ustanost koja je deset puta manja od ustanosti semplovanja senzora pametnog telefona. Kako je u ustanost semplovanja senzora 200 Hz, usvojeno je da je granica u ustanost filtra 20 Hz. Ostali usvojeni parametri su:

- Gornja granica u ustanost propusnog opsega (0.2 Hz).
- Donja granica u ustanost nepropusnog dela opsega (0.4 Hz).
- Najveće slabljenje u propusnom opsegu (3dB).
- Najmanje slabljenje u nepropusnom opsegu (60 dB).

Na osnovu usvojenih parametara određen je minimalni red filtra, koji mora biti deset.

Nakon filtriranja signala, izvučene su informacije o pet deskriptora za svaku osu akcelerometra. Za deskriptore signala su odabrani:

- Srednja vrednost,
- Max vrednost,
- Min vrednost,
- Energija (suma kvadrata semplova),
- Standardna devijacija (kvadratni koren od varijanse dobijenih rezultata).

Pomoću pomenutih deskriptora signala opisano je jedno ponavljanje svake od ukupno devet razmatranih vežbi.

3. KLASIFIKACIJA FIZIČKIH VEŽBI

Veština neuralna mreža (VNM) predstavlja moćan statistički model za mašinsko učenje i uspešno se koristi za klasifikovanje signala inercijalnih senzora [16]. U softverskom paketu Matlab izvršena je obuka i testiranje VNM.

Prilikom obrade signala učenjem je da signali intenziteta ubrzanja mogu da budu slični za različite vežbe. Tako je, za neke od tri osu akcelerometra signali nisu karakteristični za određenu grupu vežbi kojoj pripadaju. Pomenuta problematika se javlja zbog nefiksiranosti senzora i velikog broja vežbi koje se prepoznaju u toku vežbanja. Navedeno može dovesti do greške prilikom klasifikacije VNM. Rešenje za povećanje tačnosti klasifikovanja VNM i smanjenje pogrešnih odluka usled pomeranja senzora telefona je klasifikovanje fizičkih vežbi na osnovu deskriptora signala.

Da bi se obavila klasifikacija fizičke vežbe učenjem deskriptora signala, vrši se treniranje VNM. Jednom istrenirana VNM klasificuje svako sledeće ponavljanje vežbi na osnovu njihovih deskriptora signala. Radi pronalaženja optimalnog broja deskriptora mernog signala, kao i testiranja njihovog uticaja na tačnost klasifikacije VNM, razmatrana su četiri slučaja za njihovo računanje prilikom vežbanja:

- Deskriptori intenziteta vektora ubrzanja – ukupno pet deskriptora po signalu (skup I)
- Deskriptori jedne ose (x ose) akcelerometra – ukupno pet deskriptora po signalu (skup II)
- Deskriptori dve ose (x i y ose) akcelerometra – ukupno deset deskriptora po signalu (skup III)
- Deskriptori sve tri ose (x, y i z ose) akcelerometra – ukupno petnaest deskriptora po signalu (skup IV)

Za sva četiri pomenuta slučaja izvršeno je treniranje, validacija i testiranje VNM.

3.1. Veština neuralna mreža

U cilju minimizacije greške pri klasifikaciji vežbi, struktura VNM je optimizovana. To je postignuto tako što je implementirana dvoslojna feedforward VNM mreža za prepoznavanje oblika.

VNM je trenirana pomo u scaled backpropagation trening algoritma. Koeficijenti su određivani tako što se gledalo da nakon treniranja mreže, performanse validacionog i test skupa budu zadovoljavajuće. Pod terminom zadovoljavajuće podrazumeava se da nije došlo do preobučavanja ili nedovoljnog treniranja mreže. Prvi sloj sadrži sedam a drugi pet neurona. Ulagani sloj sadrži deset a izlazni devet neurona.

Etiri pomenuta skupa podataka su korišćeni za testiranje i obuhvatavanje VNM, u cilju postizanja veće tačnosti klasifikacije vežbi.

Ulagani vektori (devet vežbi sa po sto ponavljanja) su raspoređeni u tri skupa (obuka, validacija i test) i to:

- 70% podataka je korišćeno za obuhvatavanje
- 15% podataka je korišćeno za validaciju
- 15% podataka je korišćeno za nezavisni test generalizacije

Konfuzionna matrica za najtačniji skup podataka (ulazni skup IV) prikazana je na slici 6.

| Konfuzionna matrica | | | | | | | | | |
|---------------------|---|--------------|--------------|--------------|-------------|-------------|--------------|--------------|--------------|
| Ulagana klasa | 1 | 2 | 3 | 4 | 5 | 6 | 7 | 8 | 9 |
| | 1 | 100 11.1% | 0 0.0% | 0 0.0% | 0 0.0% | 0 0.0% | 0 0.0% | 0 0.0% | 0 0.0% |
| | 2 | 0 0.0% | 100 11.1% | 0 0.0% | 0 0.0% | 2 0.2% | 0 0.0% | 0 0.0% | 0 0.0% |
| | 3 | 0 0.0% | 0 0.0% | 100 11.1% | 0 0.0% | 0 0.0% | 0 0.0% | 0 0.0% | 0 0.0% |
| | 4 | 0 0.0% | 0 0.0% | 0 0.0% | 97 10.8% | 0 0.0% | 1 0.1% | 0 0.0% | 0 0.0% |
| | 5 | 0 0.0% | 0 0.0% | 0 0.0% | 0 0.0% | 98 10.9% | 0 0.0% | 0 0.0% | 0 0.0% |
| | 6 | 0 0.0% | 0 0.0% | 3 0.3% | 0 0.0% | 99 11.0% | 0 0.0% | 0 0.0% | 0 0.0% |
| | 7 | 0 0.0% | 0 0.0% | 0 0.0% | 0 0.0% | 0 0.0% | 100 11.1% | 0 0.0% | 0 0.0% |
| | 8 | 0 0.0% | 0 0.0% | 0 0.0% | 0 0.0% | 0 0.0% | 0 0.0% | 100 11.1% | 0 0.0% |
| | 9 | 0 0.0% | 0 0.0% | 0 0.0% | 0 0.0% | 0 0.0% | 0 0.0% | 0 0.0% | 100 10.3% |

Slika 6 - Konfuzionna matrica za ulazni skup IV

Redovi i kolone matrice (od 1 do 9) na slici 6 predstavljaju sledeće vežbe:

- u anđelj
- Skok iz mesta
- Podizanje kolena, oslonac leva noge
- Podizanje kolena, oslonac desna noge
- Iskorak, oslonac leva noge
- Iskorak, oslonac desna noge
- Sklek
- Bočno dizanje noge
- Podizanje noge.

Dijagonalne elije matrice pokazuju broj slučajeva u kojima je izvršena ispravna klasifikacija, a vandijagonalne elije pokazuju broj slučajeva sa pogrešno izvršenom klasifikacijom.

Najbolji rezultati su dobijeni za ulazni skup podataka IV. To se moglo očekivati, pošto je korišćeno

više informacija akcelerometra. Tačnost, za ulazni skup signalu IV, uspeh klasifikacije je 99.3% (sl. 6, red 10, kolona 10), te je greška klasifikacije je 0.7% što se može smatrati prihvatljivim. Kao što se može videti na slici 6, četvrta vežba je bila tri puta pogrešno klasifikovana kao šesta vežba, peta vežba je bila dva puta pogrešno klasifikovana kao druga, dok je šesta vežba samo jednom pogrešno klasifikovana kao četvrta vežba. Greška prilikom klasifikacije je značajno veća sa ulazne skupove podataka I, II i III (33.9%, 44.4% i 10.8%, respektivno).

4. ZAKLJUČAK

U radu je pokazano da je moguće samo pomoći u troosnog akcelerometra pametnog telefona izvršiti klasifikaciju fizičkih vežbi. Tom prilikom je za razliku od ostalih pristupa gde se koristi veći broj fiksiranih senzora, korišćen samo jedan senzor pametnog telefona koji se nalazi nefiksiran u džepu korisnika. Kako se može desiti da oblik signala po nekoj osi akcelerometra ili po intenzitetu vektora ubrzanja bude sličan za različite vežbe, postavlja se pitanje na koji način obuhvatiti VNM da izvrši što tačniju klasifikaciju. To je učinkujuće eno uvočenje pet deskriptora signala po svakoj osi.

Za treniranje, validaciju i testiranje VNM korišćena su etiri skupa deskriptora. Zaključeno je da je najslabija klasifikacija mreže upravo za skup I, što se objašnjava smanjenim brojem deskriptora. Pogrešna klasifikacija je rezultat sličnosti intenziteta ubrzanja vežbe jedan i vežbe osam. Ipak, zahvaljujući i dobrom odabranom filtraciji signala i samim deskriptorima srednja vrednost, uspešnost klasifikacije svih vežbi za ovaj skup slučaju iznosi preko 84%. Sa povećanjem broja deskriptora povećava se i tačnost klasifikovanja fizičkih vežbi, tako da se najtačnija klasifikacija dobija za slučaj kada se koriste sve tri ose i maksimalni broj od petnaest deskriptora. Za ovaj skup slučaju srednja vrednost uspešnosti klasifikovanja iznosi ak 99.3%. Na osnovu podataka o uspešno klasifikovanim vežbama moguće je pratiti trendove vežbanja po datumima, što omogućava sastavljanje plana i programa budućih vežbanja.

LITERATURA

- [1] Bonnet V, Joukov V, Kulić D, Fraisse P, Ramdani N, Venture G. Monitoring of Hip and Knee Joint Angles Using a Single Inertial Measurement Unit During Lower Limb Rehabilitation, *IEEE Sensors Journal*, Vol. 16, No. 6, pp. 1557-1564, 2016.
- [2] Xu JY, Wang Y, Barrett M, Dobkin B, Pottie G J, Kaiser WJ. Personalized Multilayer Daily Life Profiling Through Context Enabled Activity Classification and Motion Reconstruction: An Integrated System Approach, *IEEE Journal of Biomedical and*

- Health Informatics*, Vol. 20, No. 1, pp. 177-188, 2016.
- [3] Ermes M, Parkka J, Mantyjarvi J, Korhonen I. Detection of Daily Activities and Sports With Wearable Sensors in Controlled and Uncontrolled Conditions, *IEEE Transactions on Information Technology in Biomedicine*, Vol. 12, No. 1, pp. 20-26, 2008.
- [4] Wang A, Chen G, Yang J, Zhao S, Chang CY. A Comparative Study on Human Activity Recognition Using Inertial Sensors in a Smartphone, *IEEE Sensors Journal*, Vol. 16, No. 11, pp. 4566-4578, 2016.
- [5] Kang W, Han Y. SmartPDR: Smartphone-Based Pedestrian Dead Reckoning for Indoor Localization, *IEEE Sensors Journal*, Vol. 15, No. 5, pp. 2906-2916, 2015.
- [6] Liao J, Wang Z, Wan L, Cao QC, Qi H. Smart Diary: A Smartphone-based Framework for Sensing, Inferring and Logging Users' Daily Life, *IEEE Sensors Journal*, Vol. 15, No. 5, pp. 2761-2773, 2015.
- [7] Guo S, Grindle GG, Authier EL, Cooper RA, Fitzgerald SG, Kelleher A, Cooper R. Development and Qualitative Assessment of GAMECycle Exercise System, *IEEE Transactions on Neural Systems and Rehabilitation Engineering*, Vol. 14, No. 1, pp. 83-90, 2006.
- [8] Maamar HR, Boukerche A, Petriu EM. 3-D Streaming Supplying Partner Protocols for Mobile Collaborative Exergaming for Health, *IEEE Transactions on Information Technology in Biomedicine*, Vol. 16, No. 6, pp. 1079-1095, 2012.
- [9] Wu MF, Chen CL, Wen CY, Hsu JY. Design of Pervasive Rehabilitation Monitoring for Chronic Obstructive Pulmonary Disease, *IEEE Sensors Journal*, Vol. 13, No. 11, pp. 4413-4422, 2013.
- [10] Phan N, Ebrahimi J, Kil D, Piniewski B, Dou D. Topic-Aware Physical Activity Propagation in a Health Social Network, *IEEE Intelligent Systems*, Vol. 31, No. 1, pp. 5-14, 2016.
- [11] Zhang Z, Poslad S. Improved Use of Foot Force Sensors and Mobile Phone GPS for Mobility Activity Recognition, *IEEE Sensors Journal*, Vol. 14, No. 12, pp. 4340-4347, 2014.
- [12] Ar I, Akgul YS. A Computerized Recognition System for the Home-Based Physiotherapy Exercises Using an RGBD Camera, *IEEE Transactions on Neural Systems and Rehabilitation Engineering*, Vol. 22, No. 6, pp. 1160-1171, 2014.
- [13] Guan Q, Yin X, Guo X, Wang G. A Novel Infrared Motion Sensing System for Compressive Classification of Physical Activity, *IEEE Sensors Journal*, Vol. 16, No. 8, pp. 2251-2259, 2016.
- [14] Sardini E, Serpelloni M, Pasqui V. Wireless Wearable T-Shirt for Posture Monitoring During Rehabilitation Exercises, *IEEE Transactions on Instrumentation and Measurement*, Vol. 64, No. 2, pp. 439-448, 2015.
- [15] Zheng YL, Ding XR, Poon CCY, Lo BPL, Zhang H, Zhou XL, Yang GZ, Zhao N, Zhang YT. Unobtrusive Sensing and Wearable Devices for Health Informatics, *IEEE Transactions on Biomedical Engineering*, Vol. 61, No. 5, pp. 1538-1554, 2014.
- [16] Li G, Liu T, Yi J, Wang H, Li J, Inoue Y. The Lower Limbs Kinematics Analysis by Wearable Sensor Shoes, *IEEE Sensors Journal*, Vol. 16, No. 8, pp. 2627-2638, 2016.

SUMMARY

CLASSIFICATION OF PHYSICAL EXERCISES USING A TRIAXIAL ACCELEROMETER IN A SMARTPHONE AND AN ARTIFICIAL NEURAL NETWORK

The prevalence of smartphones and their adequate computer skills can be used for detecting everyday physical exercises. Acquired information on performed exercises can be used in the field of Health Informatics. For identification of particular physical activity a number of sensors and their repositioning during exercises are needed. This paper presents a way to classify the type of exercise using only triaxial built-in accelerometric sensor in the smartphone. The smartphone itself is free to move inside the subject pocket. The problem of using a number of sensors and their repositioning during exercise is solved by raw signal filtering and by defining a set of signal descriptors. Nine characteristic exercises have been analyzed for different programs and levels of exercise. To filter the raw accelerometer signal a low-pass 10-th order Butterworth filter is used. The filtered signals are described in terms of five descriptors which are used to train an artificial neural network (ANN). Classification of the type of exercise is performed using ANN with an error of 0.7%. Some exercises can be performed with only left or right leg. The classification accuracy of proposed approach is tested in a way that the smartphone was always in the subject's right pocket even when the exercise is performed using left leg only.

Key words: accelerometer, neural network, classification, physical exercise, smartphone